

Etude de l'influence des particules émises lors d'un incendie sur le comportement des dispositifs d'épuration à très haute efficacité des installations nucléaires

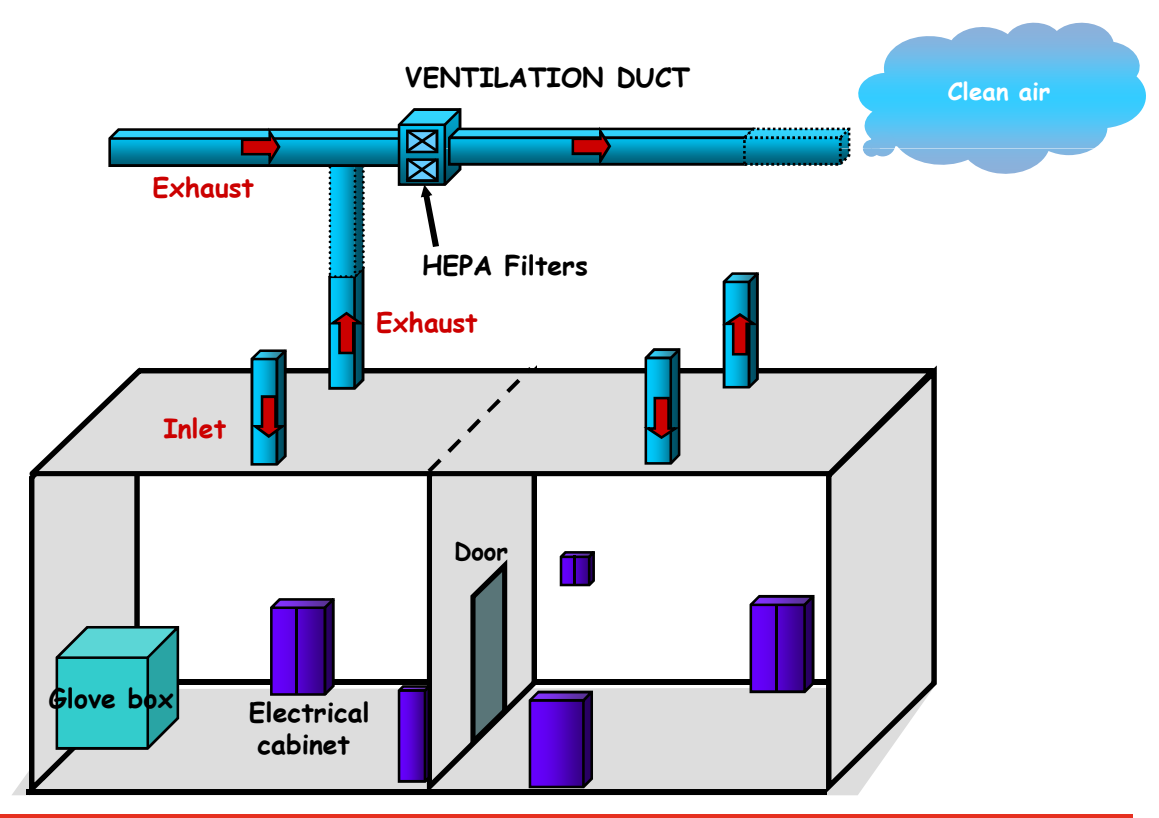
Synthèse des acquis

MOCHO V.M., OUF F.X., PONTREAU S.

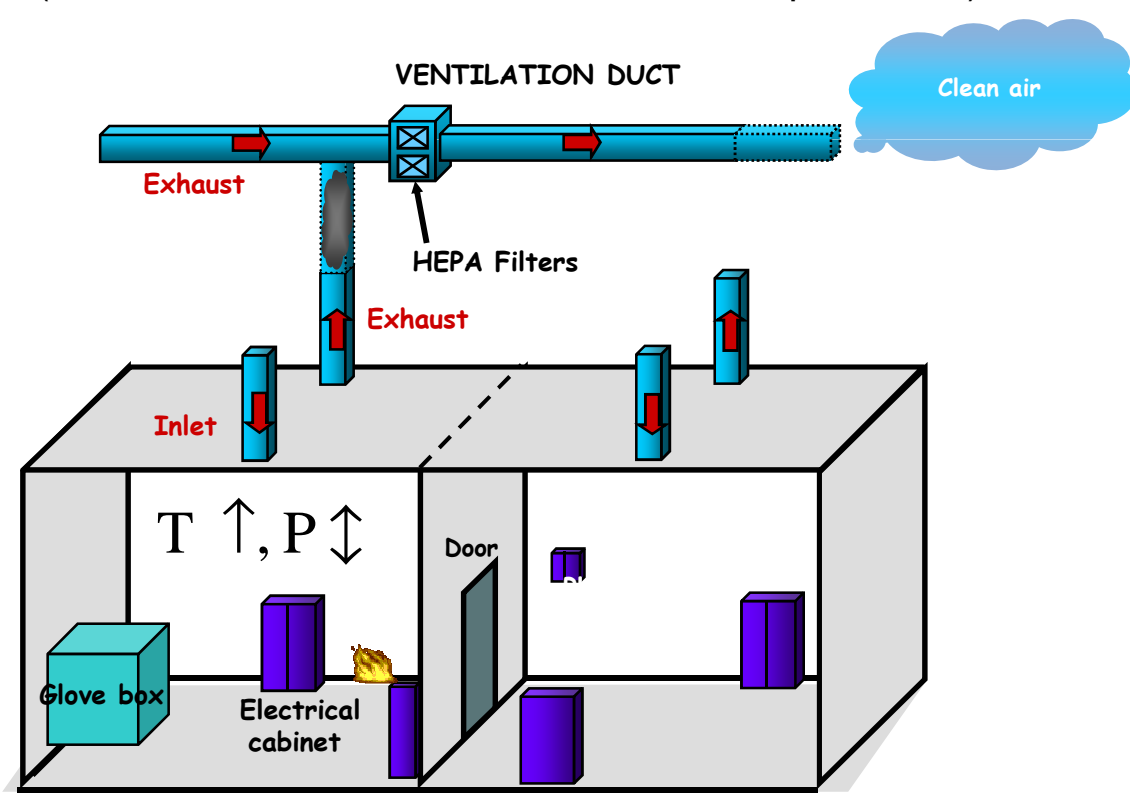
Institut de Radioprotection et de Sûreté Nucléaire



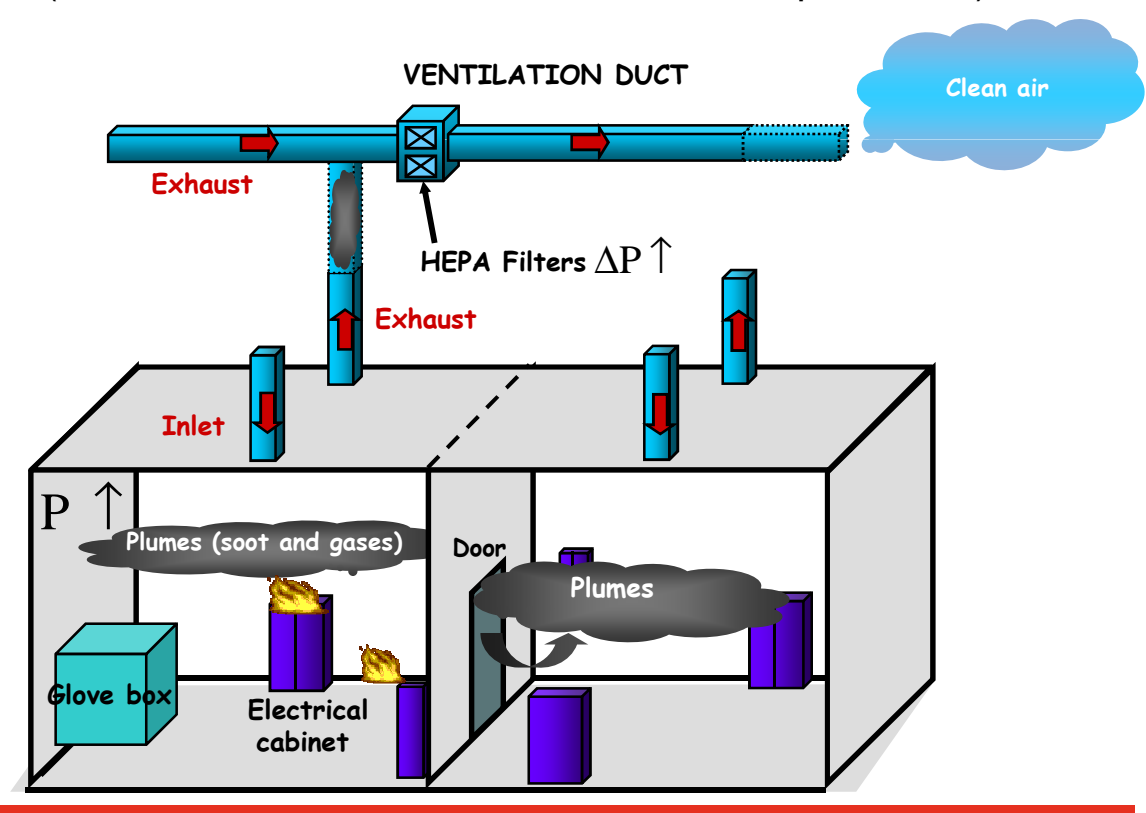
 Le confinement des matières radioactives est effectué en utilisant un système de ventilation (cascade de dépression et filtres THE)



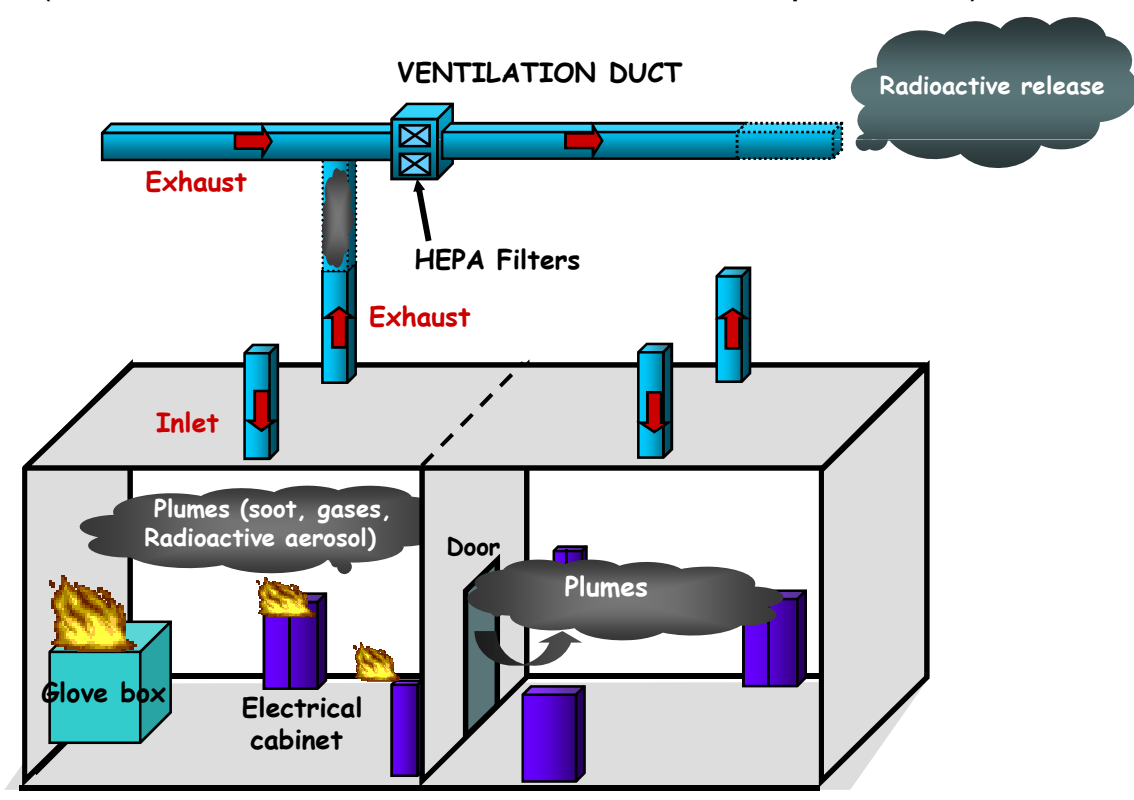
- Le confinement des matières radioactives est effectué en utilisant un système de ventilation (cascade de dépression et filtres THE).
 - Le feu est un risque industriel majeur dans une installation nucléaire.
- Effets: élévation de la température et de la pression dans l'installation, libération d'aérosols (suies et radioactifs), transport dans d'autres locaux de l'installation, colmatage des filtres THE (diminution de débit de ventilation, voire rupture filtre).



- Le confinement des matières radioactives est effectué en utilisant un système de ventilation (cascade de dépression et filtres THE).
 - Le feu est un risque industriel majeur dans une installation nucléaire.
- Effets: élévation de la température et de la pression dans l'installation, libération d'aérosols (suies et radioactifs), transport dans d'autres locaux de l'installation, colmatage des filtres THE (diminution de débit de ventilation, voire rupture filtre).



- Le confinement des matières radioactives est effectué en utilisant un système de ventilation (cascade de dépression et filtres THE).
 - Le feu est un risque industriel majeur dans une installation nucléaire.
- Effets: élévation de la température et de la pression dans l'installation, libération d'aérosols (suies et radioactifs), transport dans d'autres locaux de l'installation, colmatage des filtres THE (diminution de débit de ventilation, voire rupture filtre).



Thèmes étudiés

1. Mise en suspension de contamination.

- a. Détermination du coefficient de mise en suspension.
- b. Essais analytiques à l'échelle du cône calorimètre.
- c.Différents simulants inactifs et polymères.

2. Caractérisation du terme source aérosol.

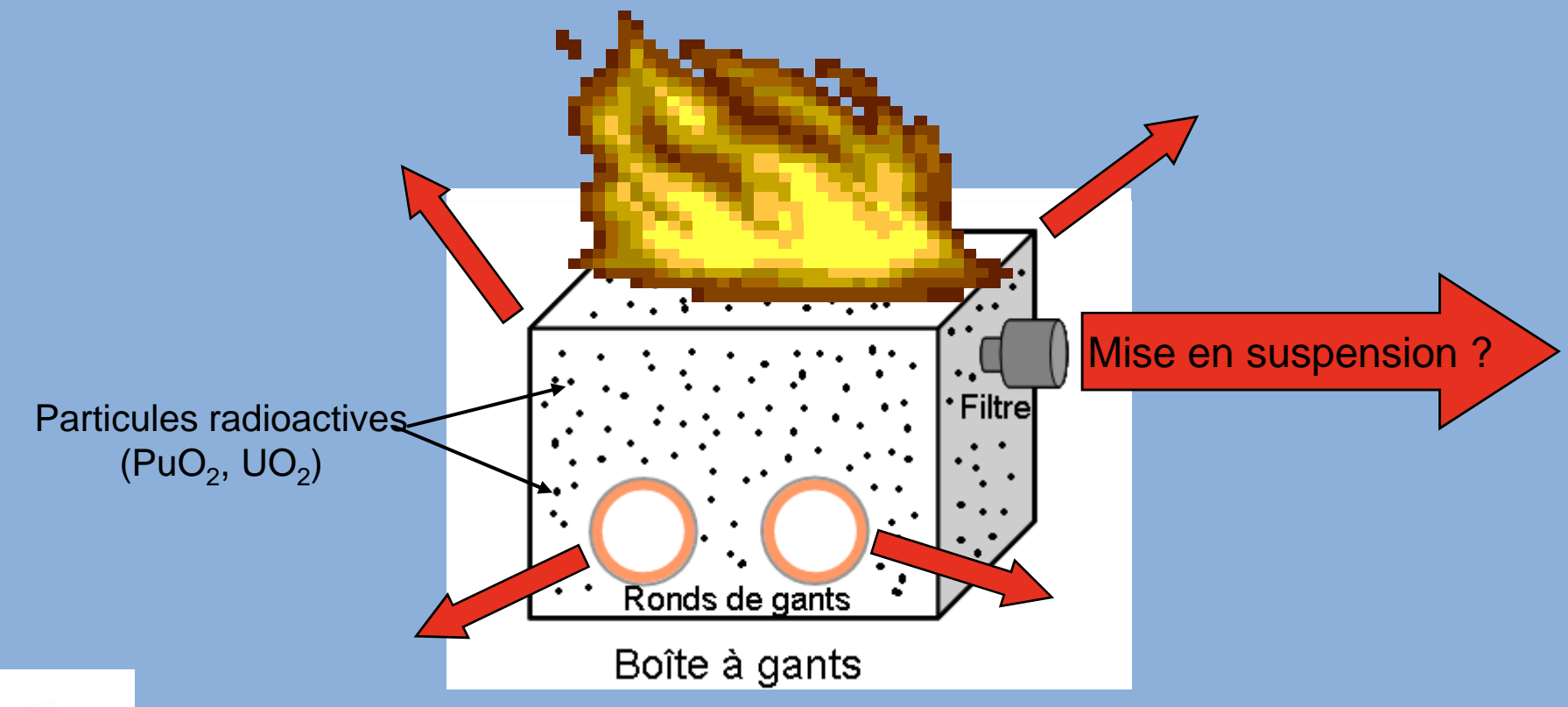
- a. Détermination des caractéristiques physico-chimique des aérosols émis lors d'un incendie.
- b. Essais analytique à échelle < 1 m.
- c.Influence du combustible et des conditions de ventilation.

3. Comportement des filtres THE.

- a. Comportement aéraulique des filtres THE.
- b. Essais analytiques et à grandeur réelle.
- c. Développement de modèles de colmatage.



Mise en suspension en situation d'incendie





Réunion du GDR incendie du 15 janvier 2010

Comprendre les mécanismes d'émission du contaminant

Évaluation de l'entraînement mécanique et de la volatilisation Contaminant stable (Al_2O_3) et volatil (CsI) avec DAMM = 1,75 et 7,5 µm

Utilisation de matériaux représentatifs des installations nucléaires (boîtes à gants) :

PMMA et LEXAN, orientation horizontale des échantillons.

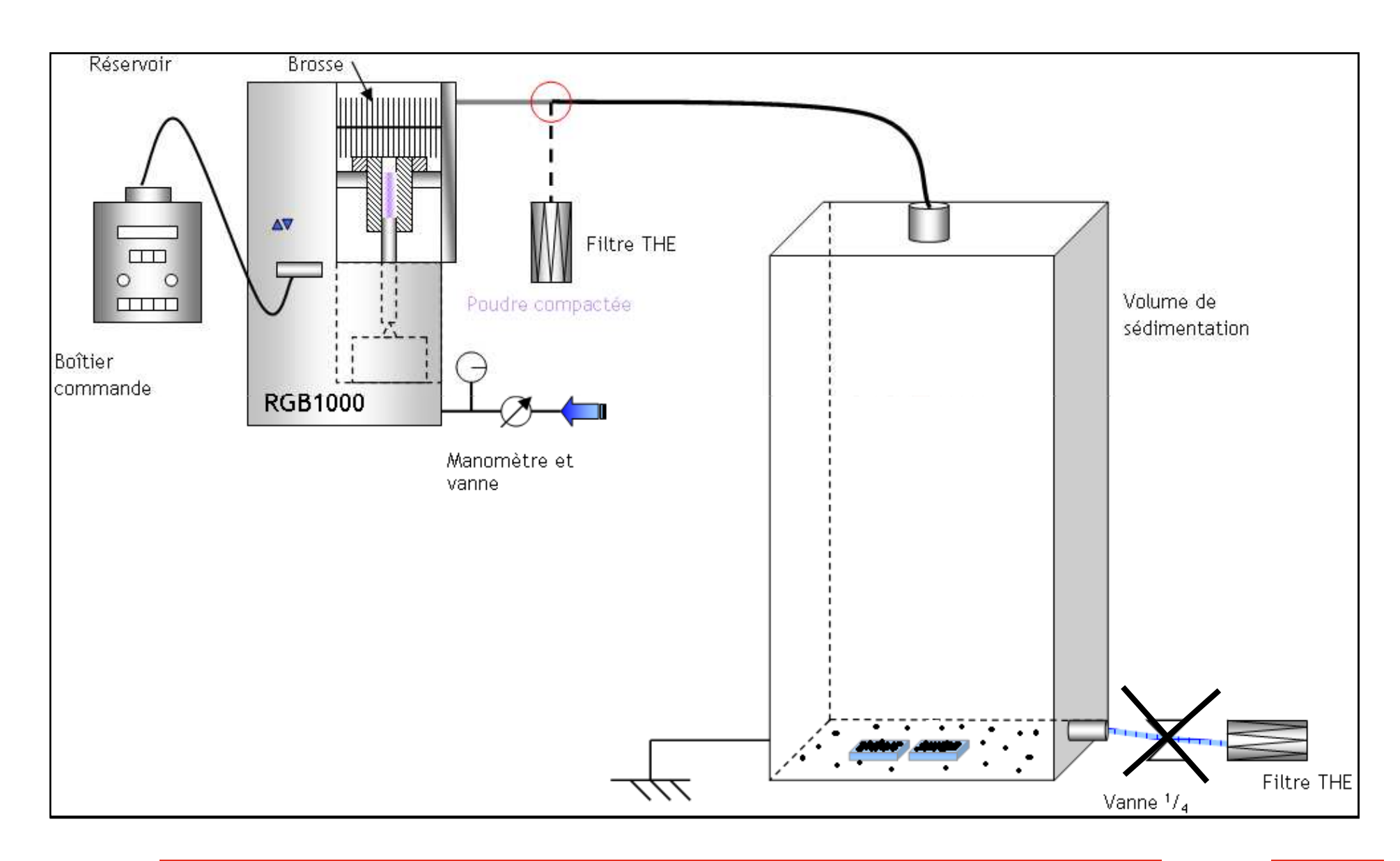
Contamination

Dépôt surfacique du contaminant sur le combustible, à une concentration de 1 mg/cm².

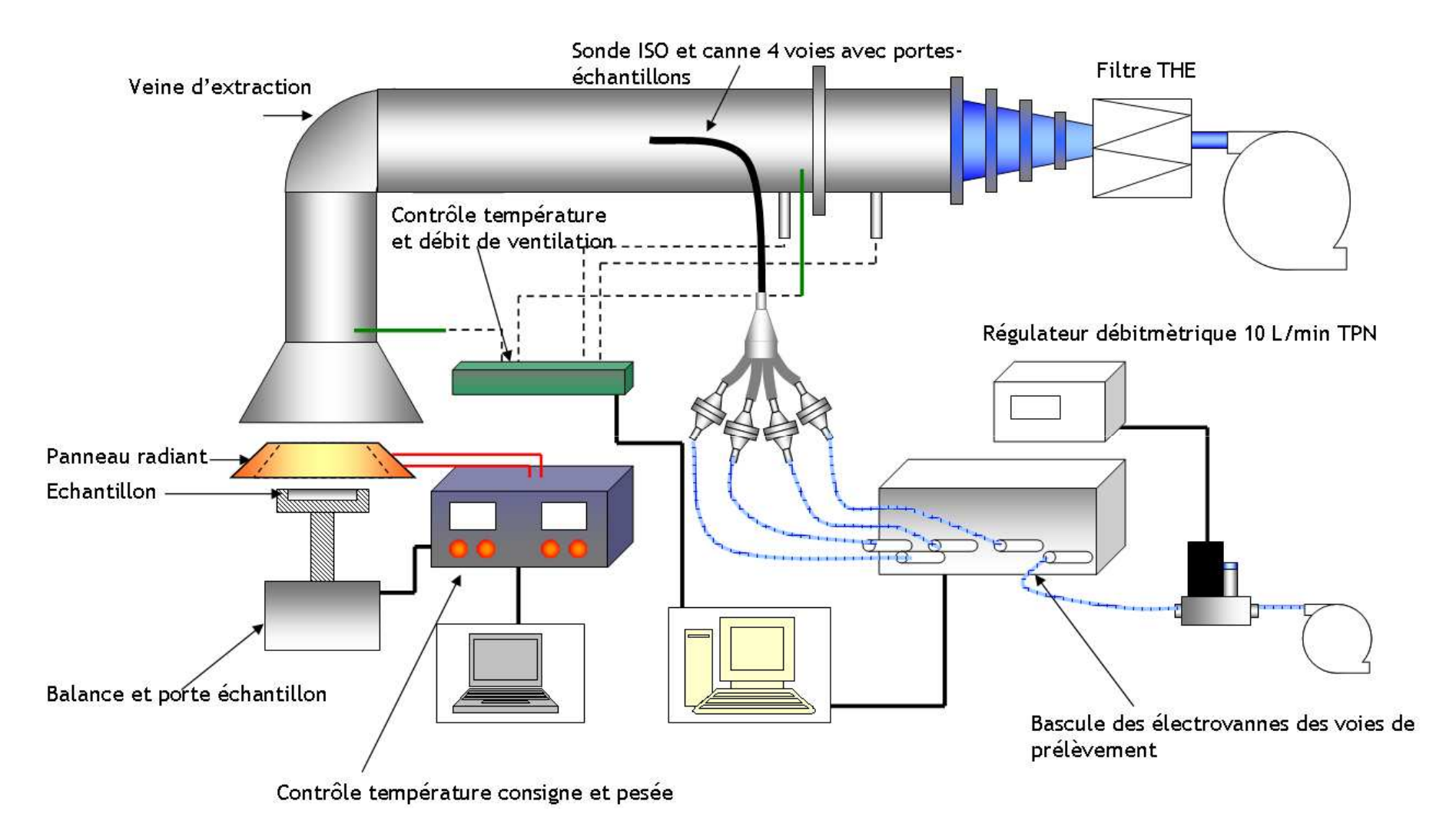
Dégradation thermique de l'éprouvette

Pyrolyse/Combustion sur plaque 10x10 cm² de PMMA et LEXAN

CONTAMINATION SURFACIQUE DES ECHANTILLONS



DISPOSITIF EXPERIMENTAL DE DEGRADATION

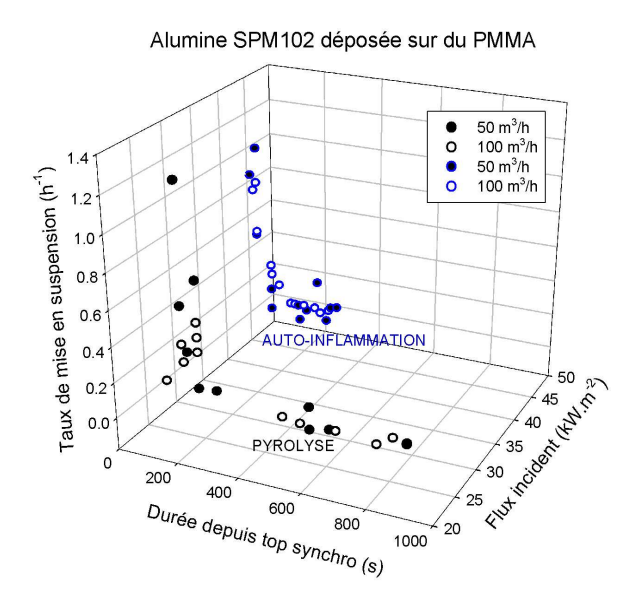


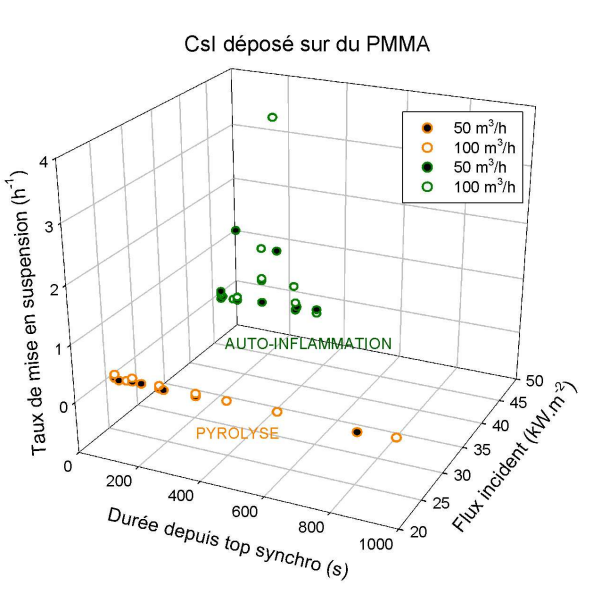
Mesure mise en suspension:

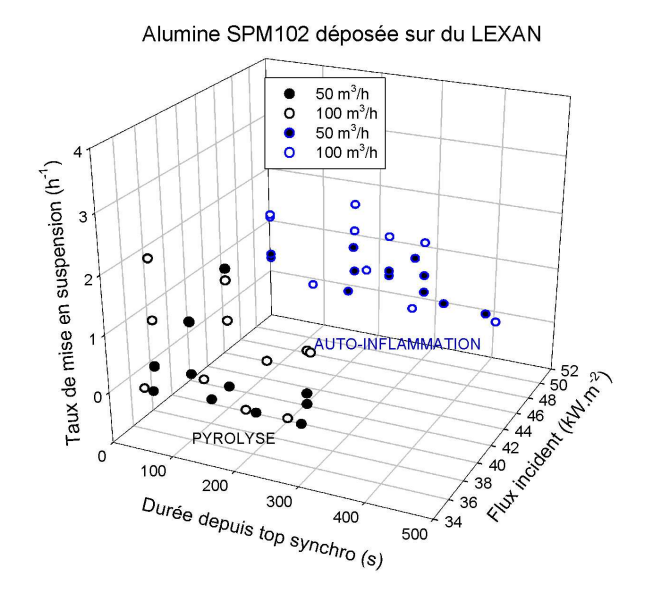
ICP-MS sur Filtres: (1 pyrolyse, 3 pyrolyse/combustion), Mesure dépôt foyer, Analyse résidus

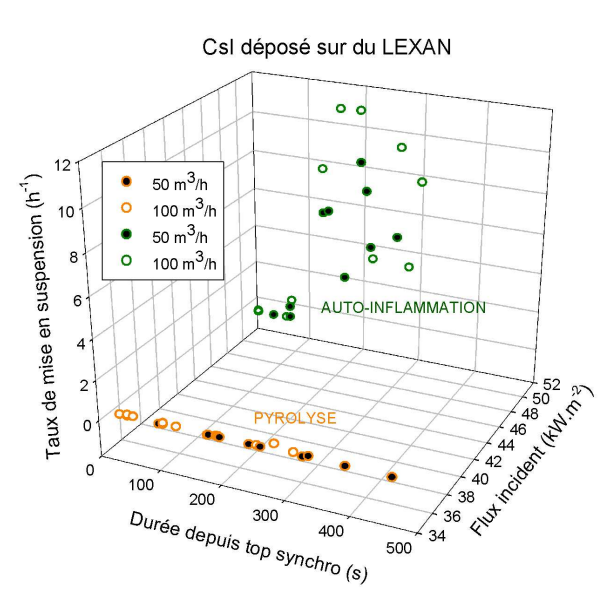
- Deux polymères : PMMA et LEXAN
- Pyrolyse et auto-inflammation :
 - > PMMA: 25 et 45 kW/m²
 - ➤ LEXAN: 30 et 50 kW/m²
- Deux débits de ventilation : 50 et 100 m³/h
- \triangleright Deux DAMM = 1,75 µm et 7,5 µm pour l'alumine
- > Deux types de matières simulantes :
 - \triangleright Contaminant stable : Al₂O₃ (T_{fusion} = 2072 °C)
 - \triangleright Contamination volatil: CsI ($T_{fusion} = 626$ °C)
- > Trois essais par configuration

RESULTATS SIGNIFICATIFS - DYNAMIQUE D'EMISSION

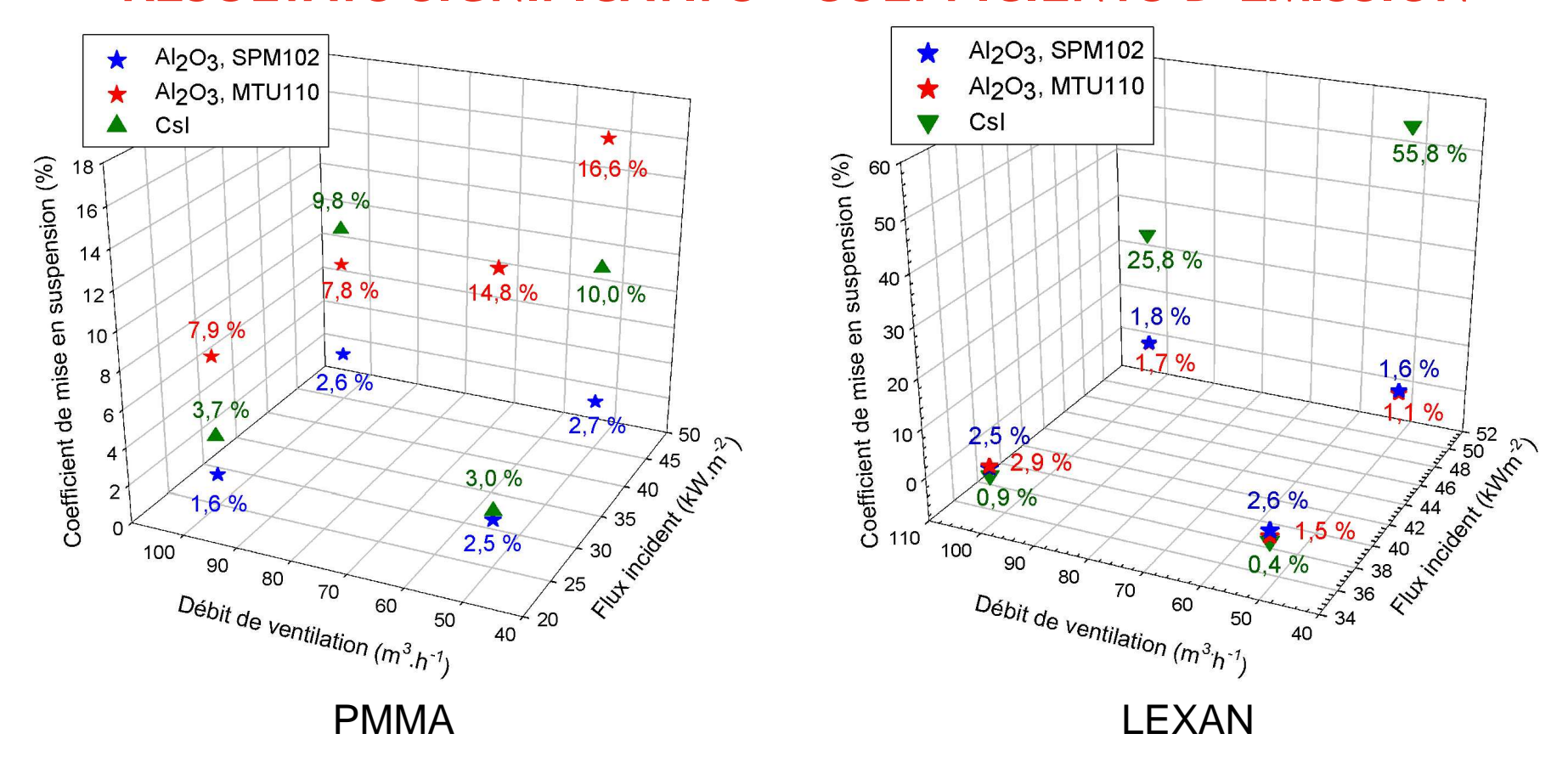








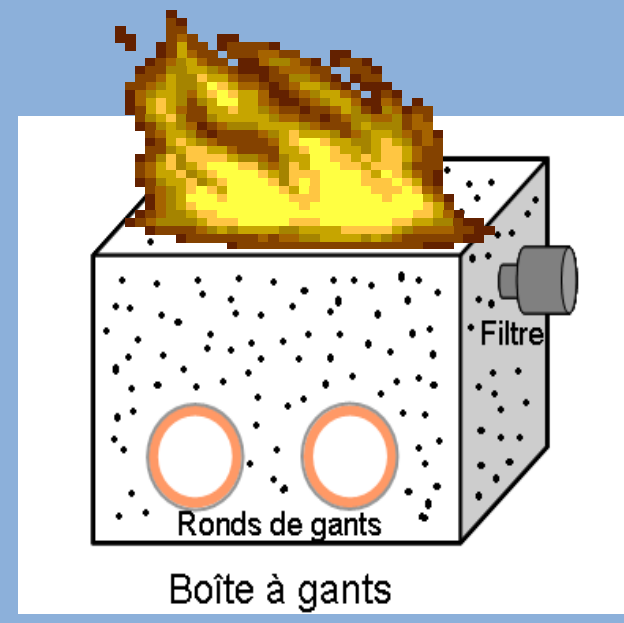
RESULTATS SIGNIFICATIFS - COEFFICIENTS D'EMISSION



- « Flash d'émission » pour le PMMA,
- peu ou pas d'influence du débit de ventilation,
- faible influence flux incident pour Al₂O₃ mais significative pour le Csl,
- peu d'influence de la granulométrie Al₂O₃ pour LEXAN mais pas pour PMMA,
- Kmes compris entre 1,1 et 16,6 % pour Al₂O₃ et entre 0,4 et 55,8 % pour le Csl.









Réunion du GDR incendie du 15 janvier 2010

Production de suies lors d'un incendie

1.Influence des conditions de ventilation?

- a.Sur-ventilation du foyer : installation BANCO.
- b. Sous-ventilation, mélange riche en combustible : cône calorimètre à atmosphère contrôlé (à venir).

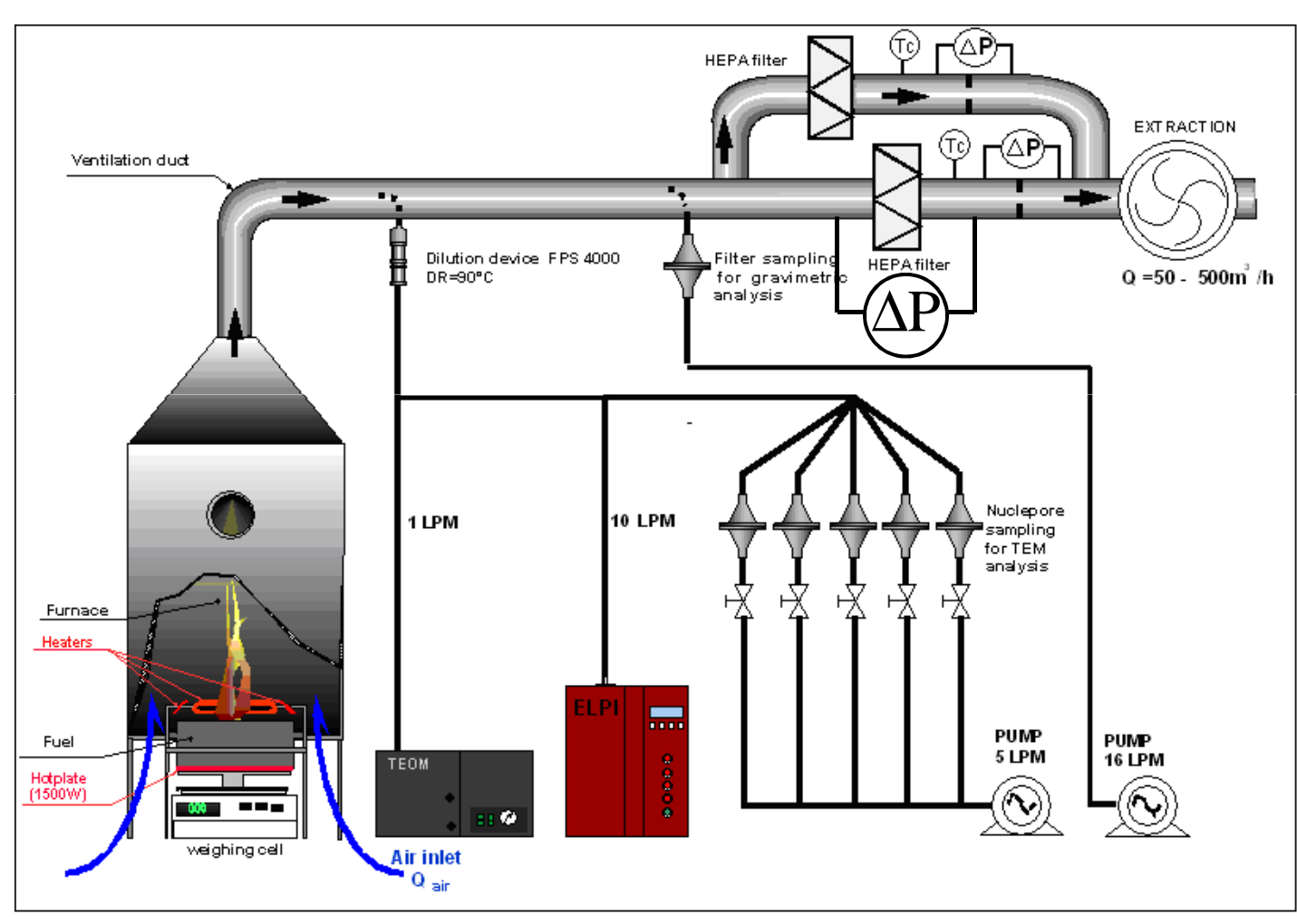
2. Etude de combustibles réalistes :

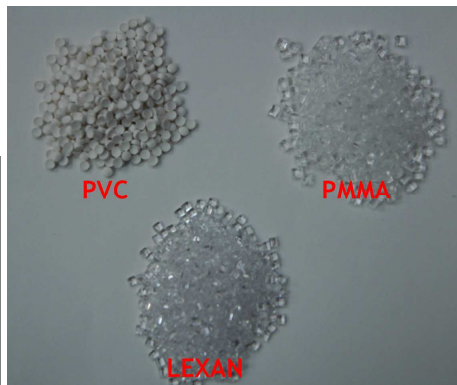
- a. Combustibles réalistes : éléments électriques, polymères divers (PC, PVC, PE...).
- b. Caractérisation des condensats?

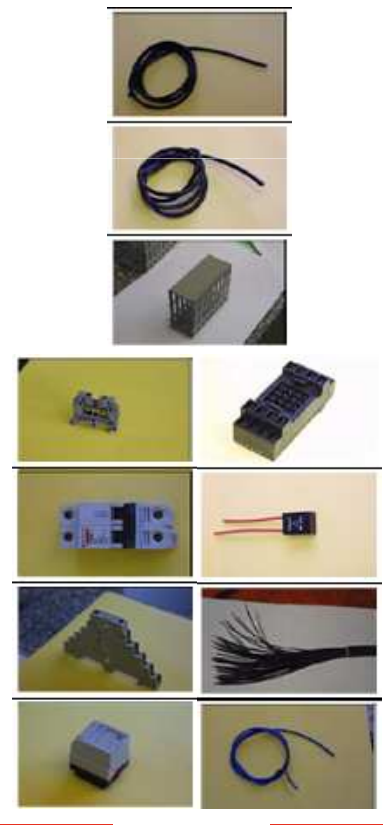
3. Transposition à échelle vraie :

a. Effet d'échelle, travaux SACLAY-CADARACHE

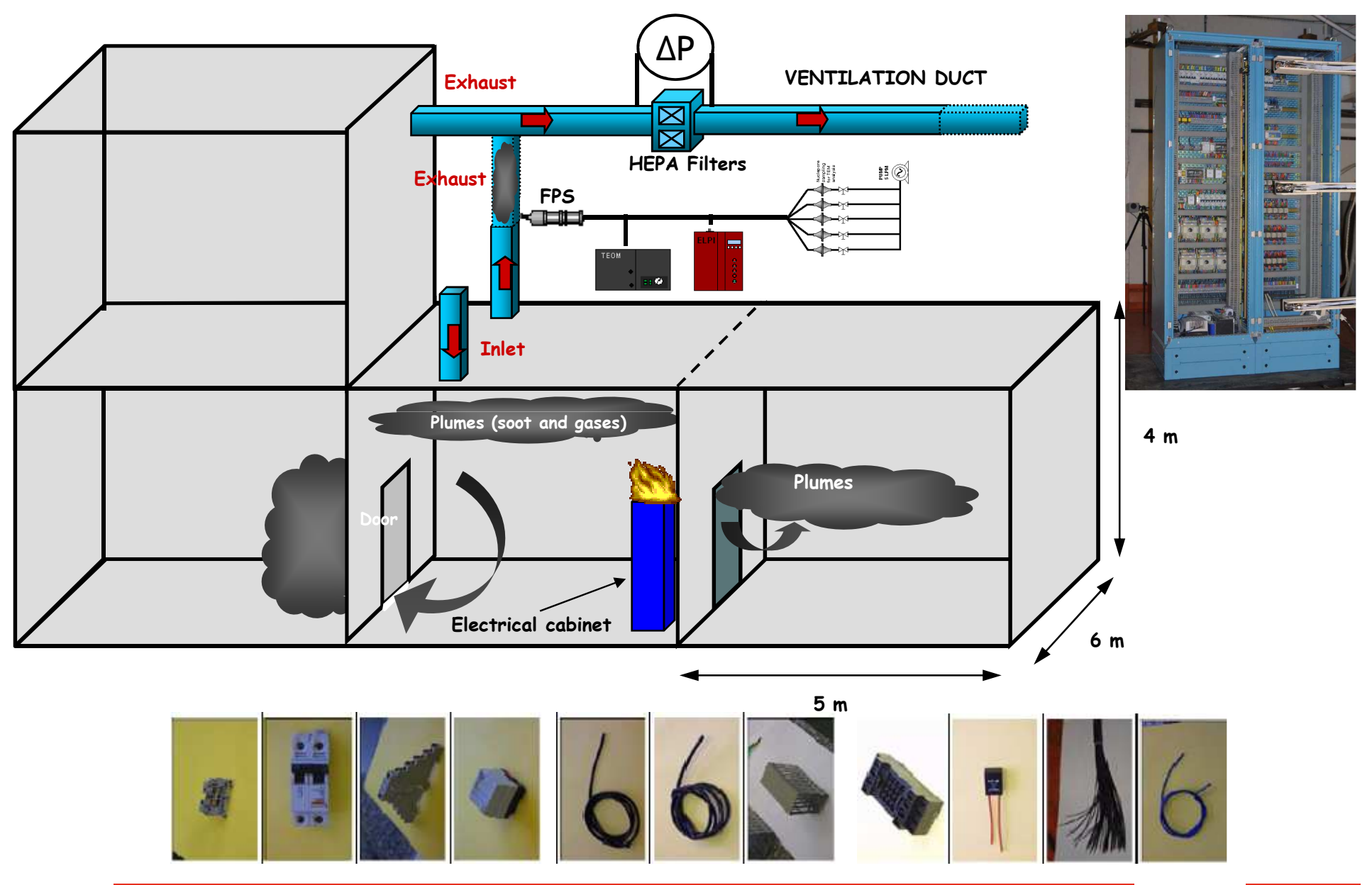
Installation expérimentale: Essais analytiques (BANCO)...





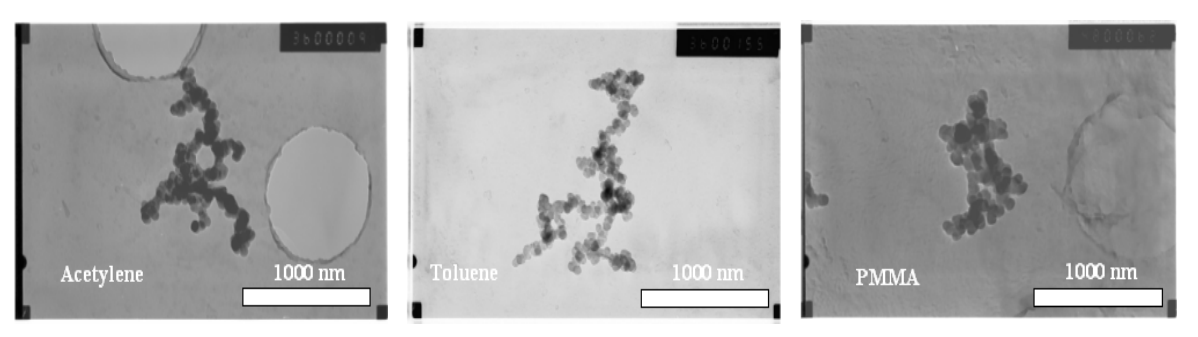


Installation expérimentale: Essais en situation réelle (DIVA).

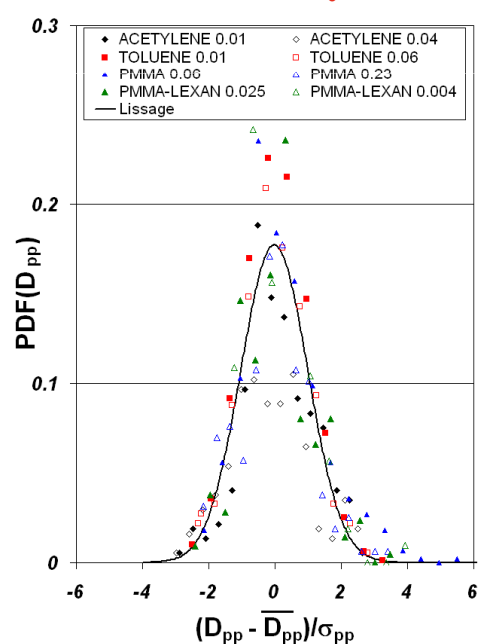


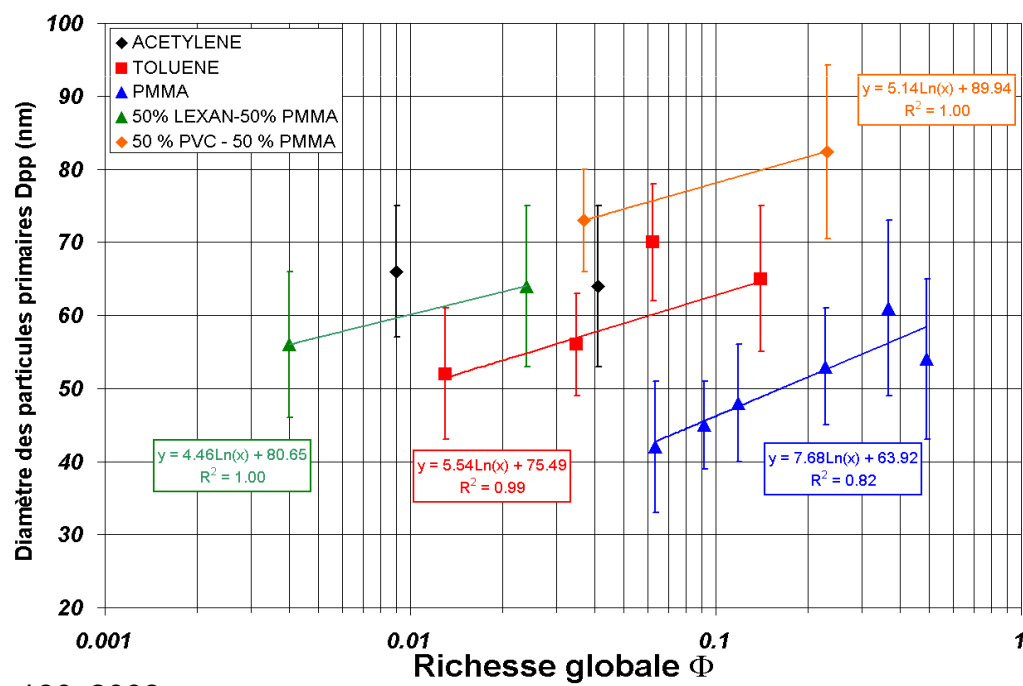
Résultats significatifs - combustibles simples

• Agrégats de nature fractale (D_f < 2), diamètre < μ m, majoritairement C.



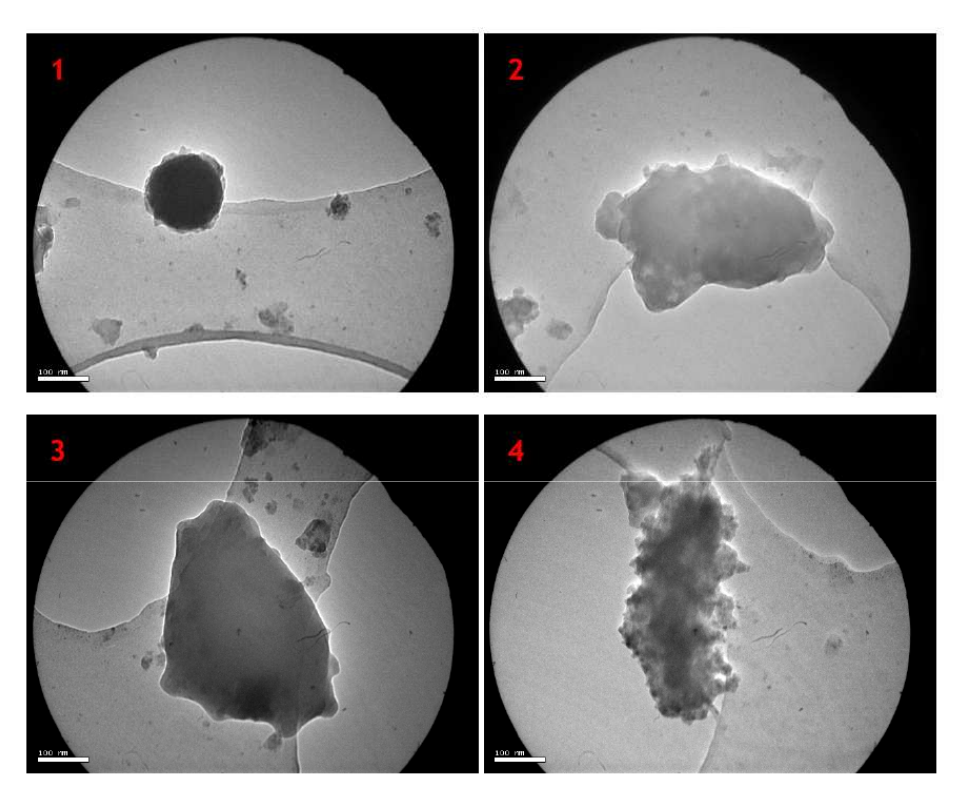
• Particules primaires sphériques, diamètre < 100 nm dépendant du combustible et de la richesse.





Ouf et al., Combustion Science and Technology, 180, 2008

Résultats significatifs issus d'essais réels.



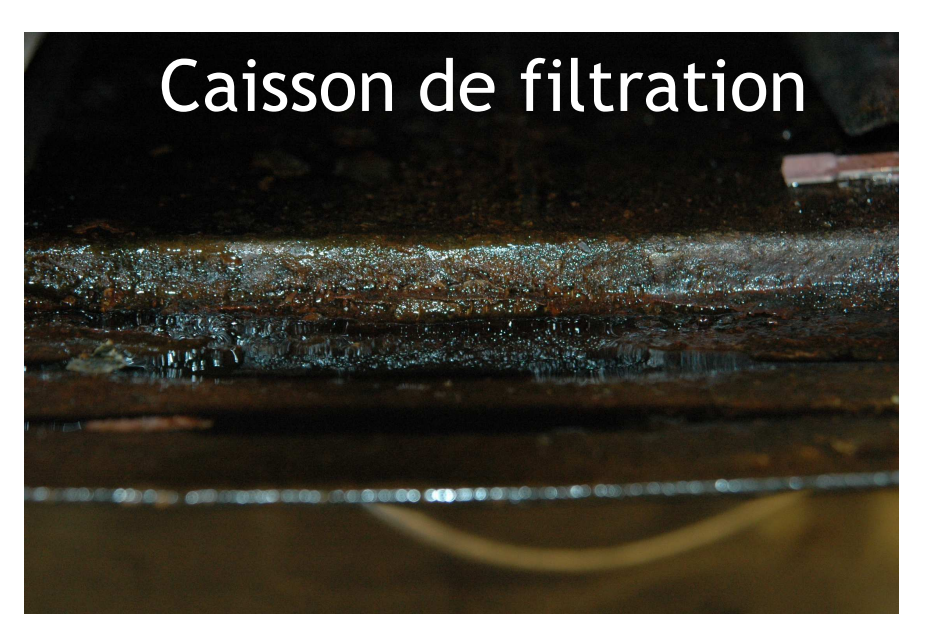


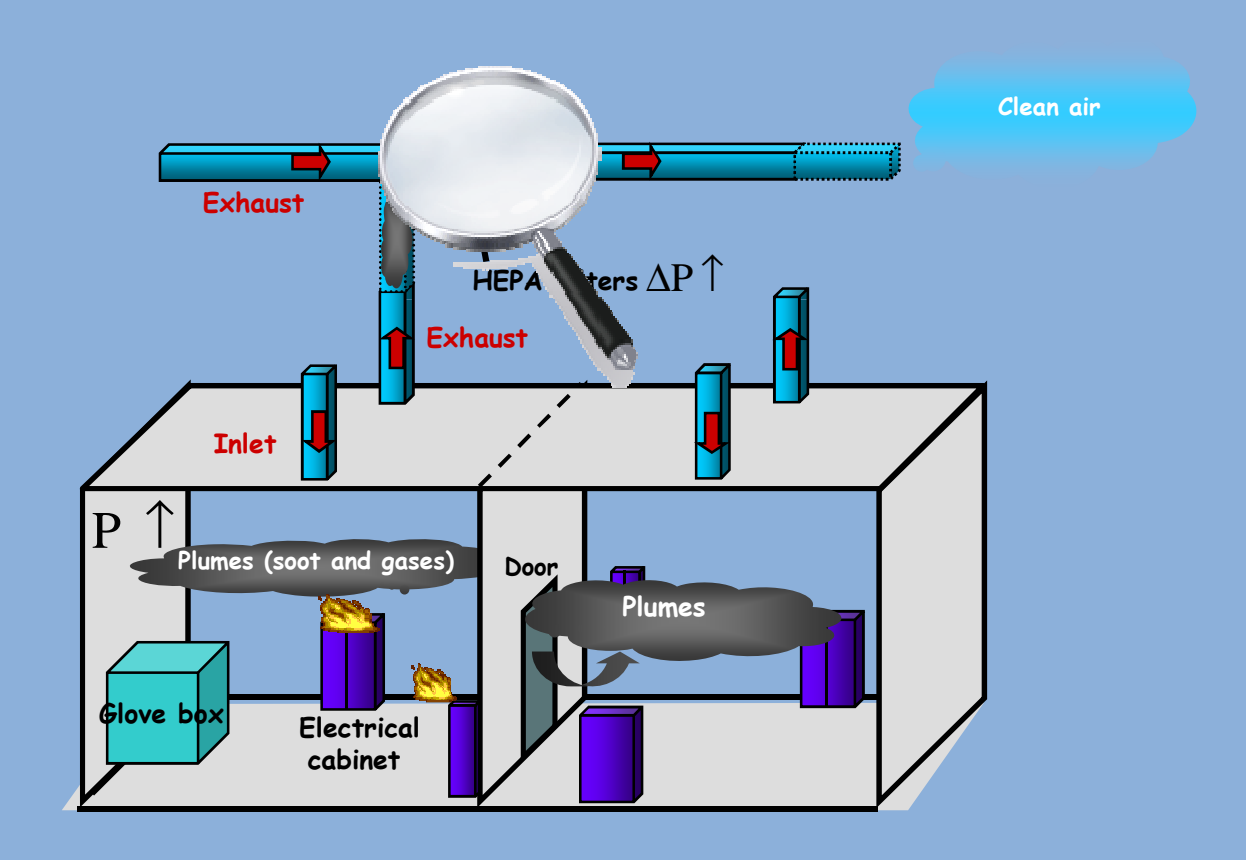
Figure 20 : Illustration de l'aspect compact des particules émises lors de l'essai PICSEL_R3

• Présence de condensats dans les lignes de ventilation : comment caractériser cette phase afin d'estimer correctement le terme source ?

• Propriétés optiques de ces suies ???



Colmatage des filtres à très haute efficacité (THE) en situation d'incendie



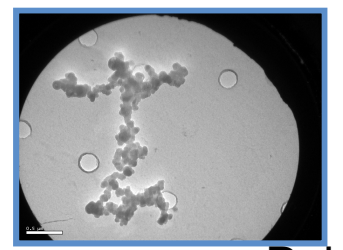


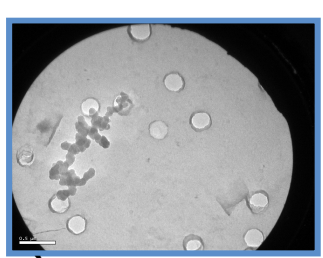
But de l'étude : Amélioration des connaissances sur l'influence d'un incendie sur la sureté des installations nucléaires

Conditions de l'étude :

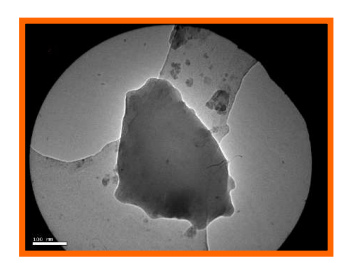
- □ Température: normale ou 200℃.
- - multi-phases: condensation sur le filtre et/ou sur les particules
 - morphologie fractale ou compacte d'agrégats d'éléments carbonés ou de particules organiques

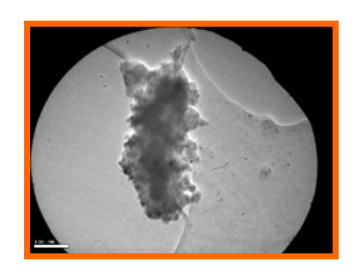






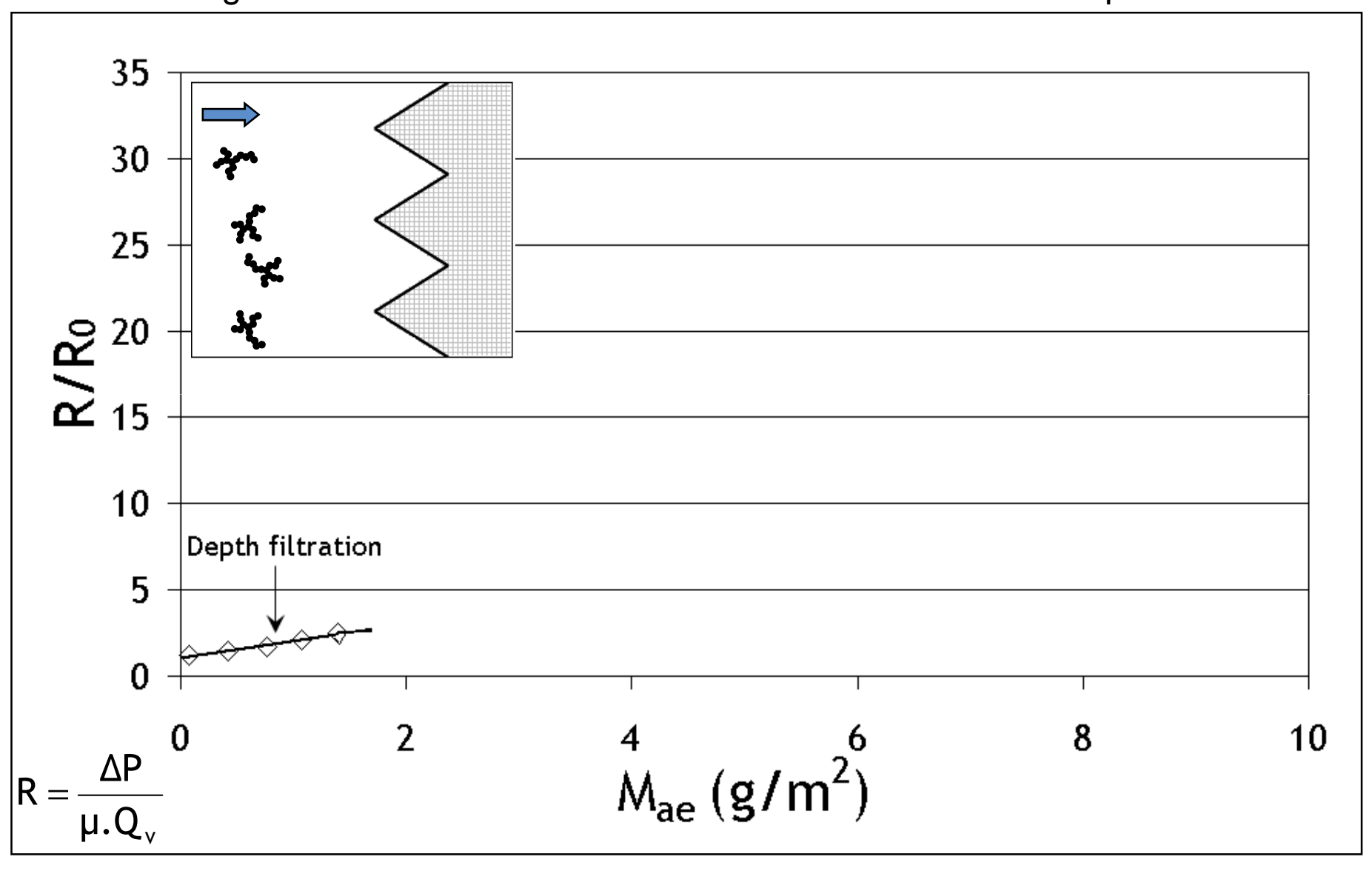
Polymères



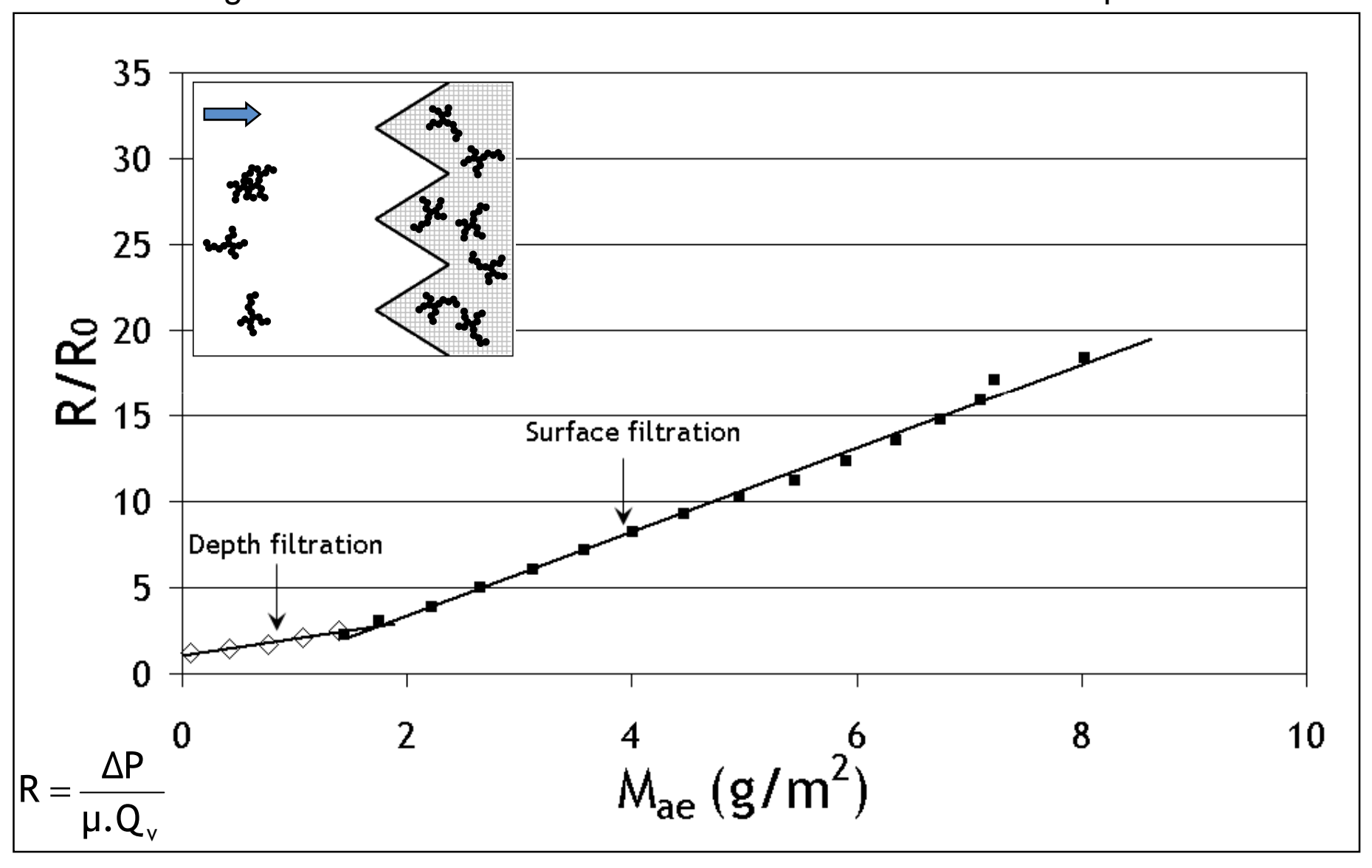


Armoire électrique

Etat des connaissances antérieures au PIC (Filtres THE plans) : Différents régimes de filtration en fonction de la masse d'aérosols déposée

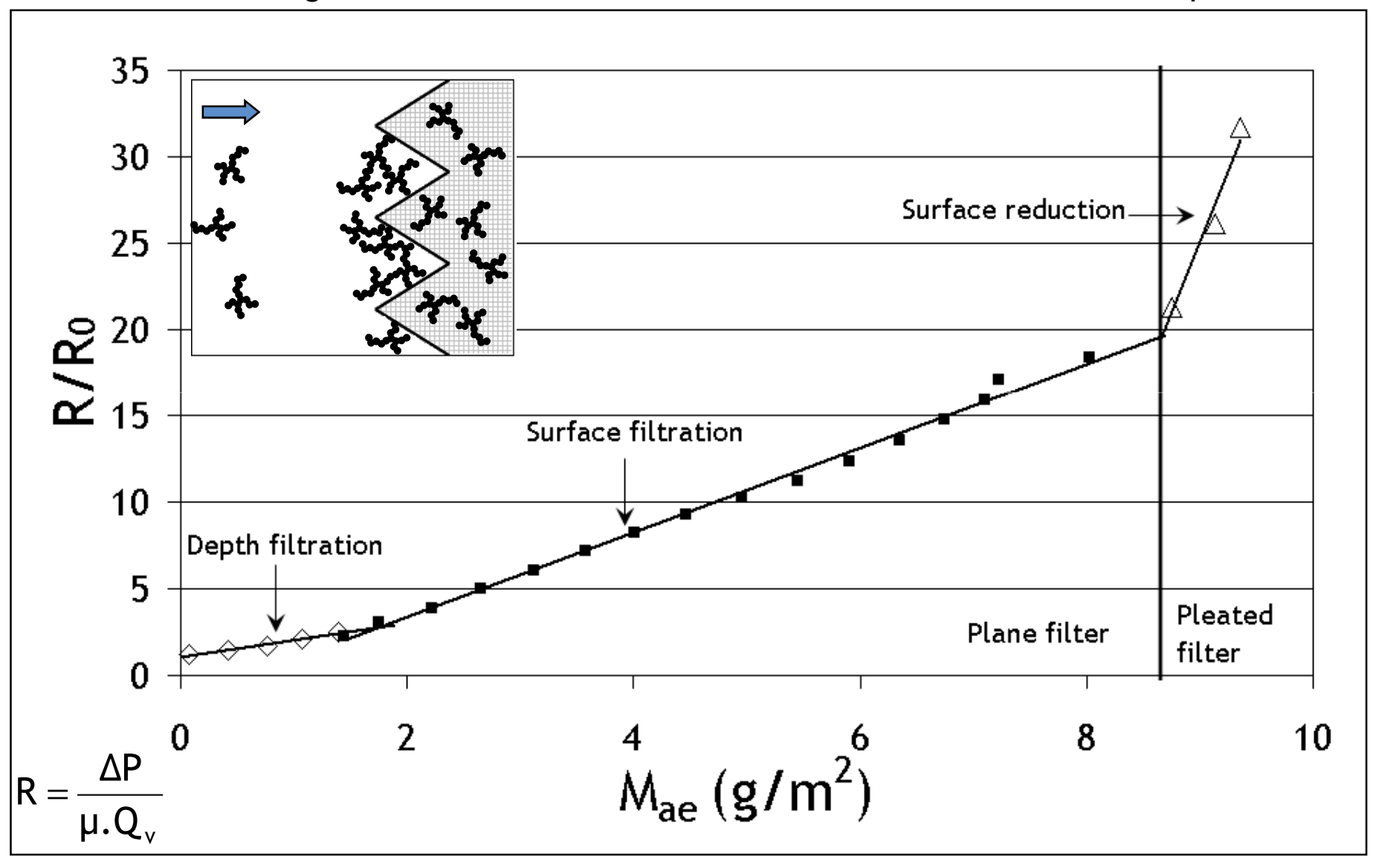


Etat des connaissances antérieures au PIC (Filtres THE plans) : Différents régimes de filtration en fonction de la masse d'aérosols déposée



Etat des connaissances antérieures au PIC (Filtres THE plans et plissés) :

Différents régimes de filtration en fonction de la masse d'aérosols déposée



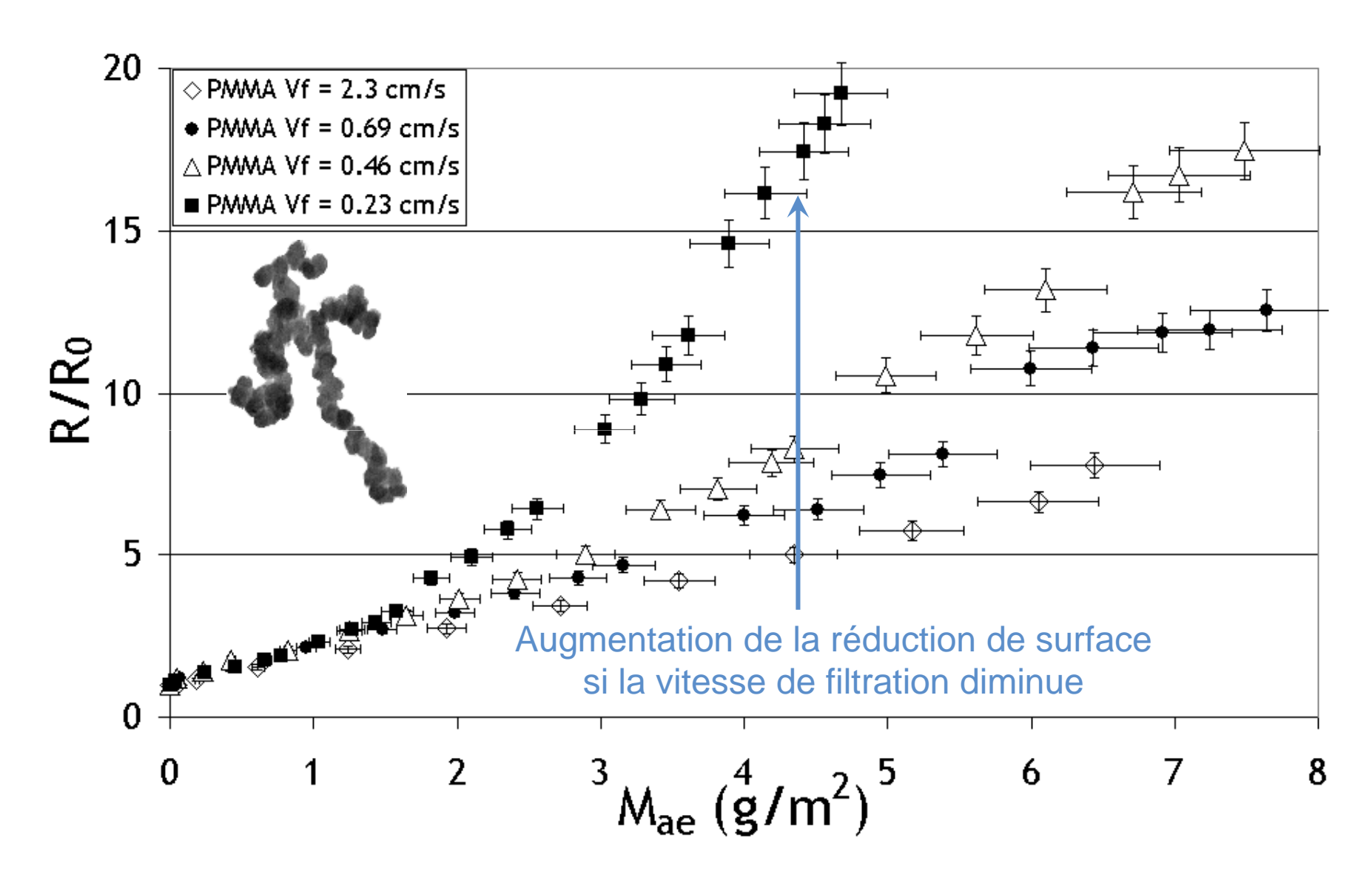
Approche choisie : Résultats expérimentaux et modélisation empirique

- Le colmatage d'un filtre par des aérosols d'incendie est un phénomène physique complexe → illusoire de pouvoir développer un modèle phénoménologique simple, généralisable et facilement utilisable.
- Identification des paramètres, relatifs à un incendie, ayant une significative influence sur le colmatage des filtres THE.
- Sélection des paramètres à intégrer dans le modèle empirique.

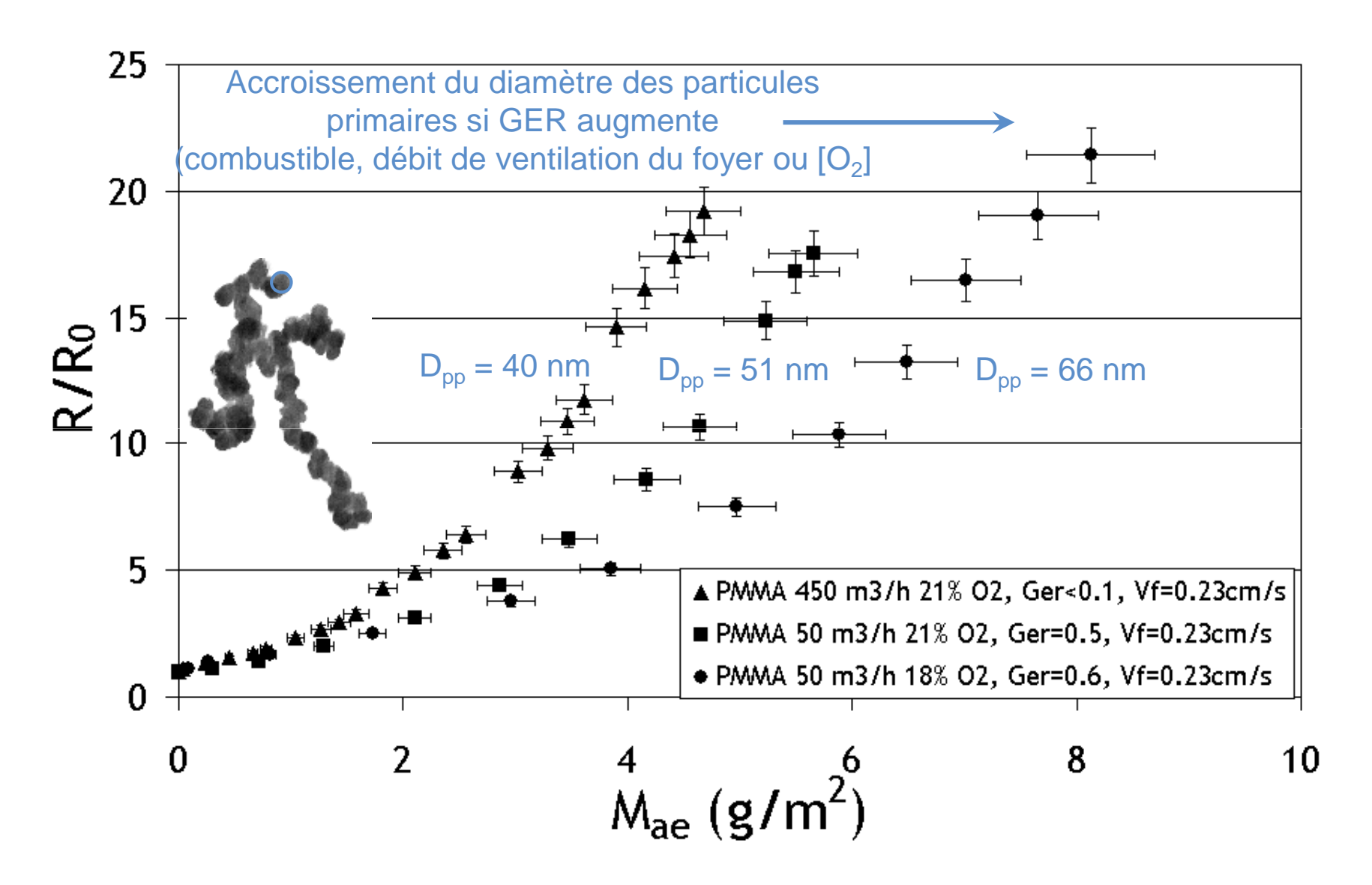
Les étapes de l'étude:

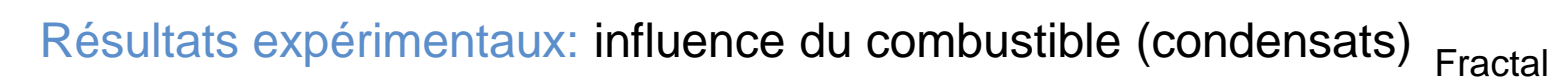
- Identification et détermination des paramètres ayant une influence significative sur le colmatage des filtres THE, dans différentes situations :
 - ☑ Différents combustibles (PMMA, LEXAN, PVC, Eléments d'armoire électrique).
- Analyse de influence des paramètres et établissement du modèle empirique.

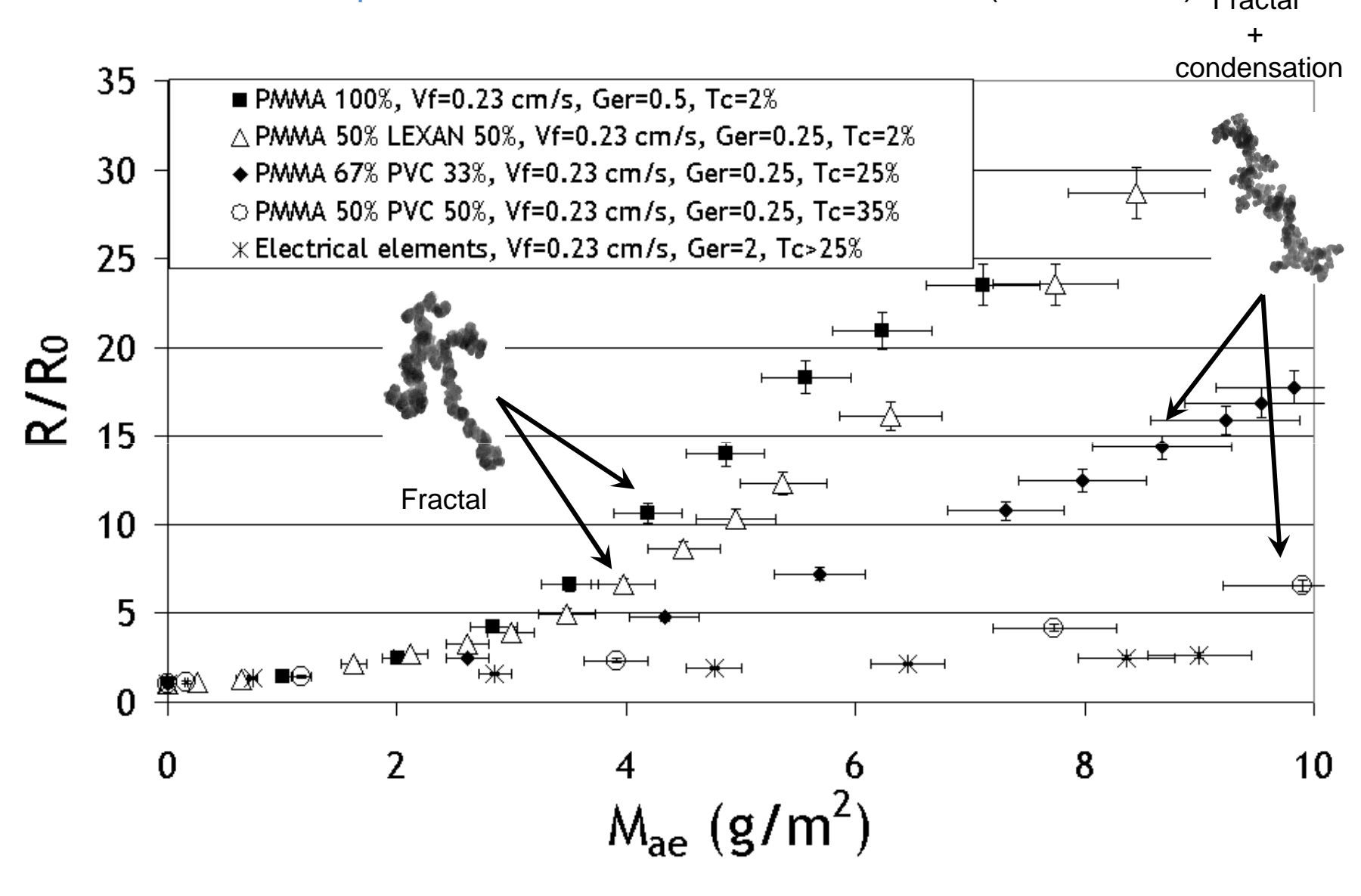
Résultats expérimentaux : influence de la vitesse de filtration



Résultats expérimentaux: influence de la richesse du mélange (GER)







Résultats expérimentaux: influence du combustible (condensats)



Mélange PMMA/PVC 50%/50%

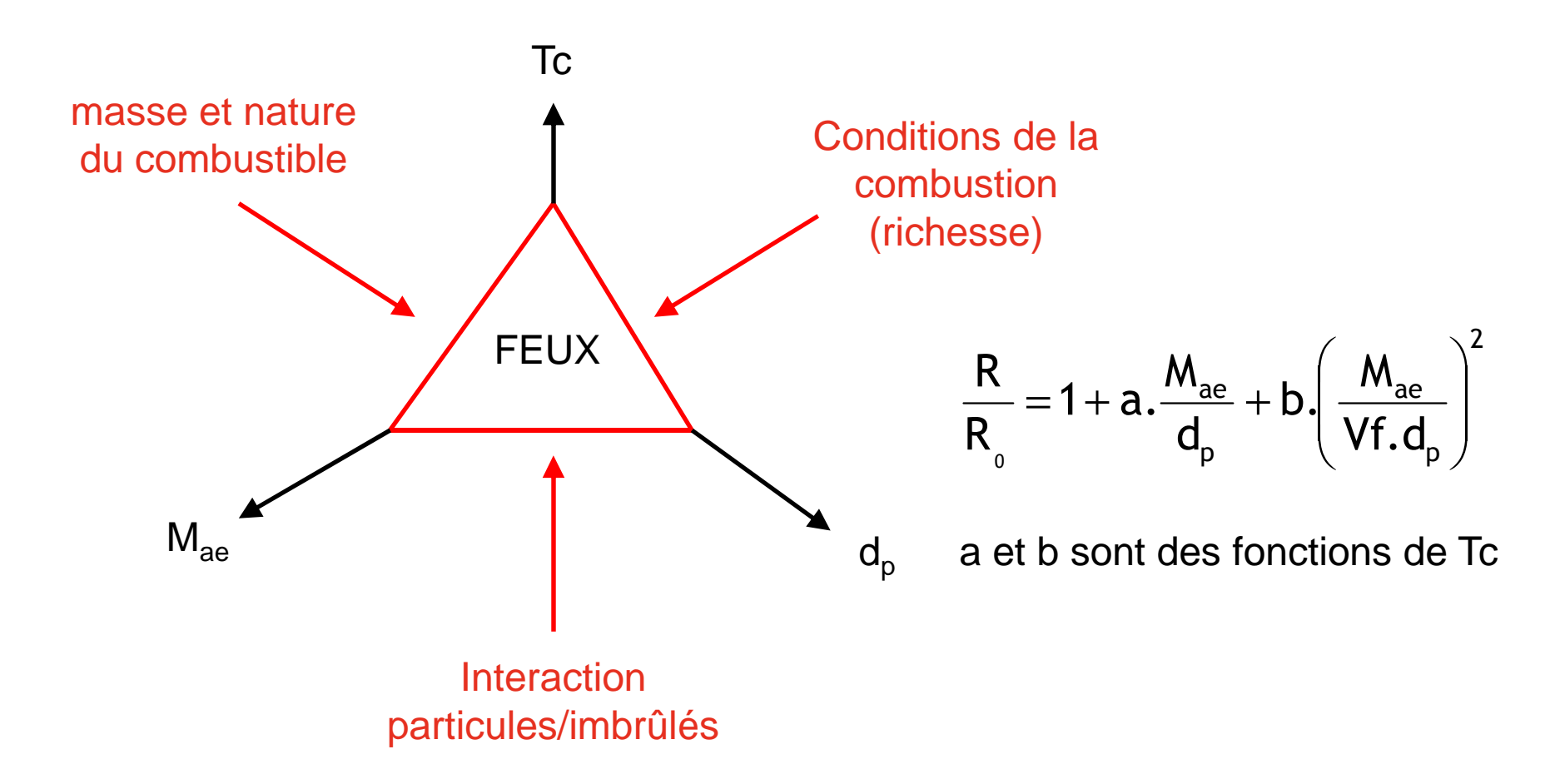


Mélange représentatif d'une armoire électrique type



Modèle empirique

Comment choisir les valeurs des paramètres d'entrée du modèle :



Mocho et Ouf, en soumission à Nuclear Engineering and Design, 2009

ELEMENTS ACQUIS SUR LA MISE EN SUSPENSION

- → Forte dynamique de l'émission de contaminations pour le cas du PMMA, observation d'un « flash d'émission »,
- 7 conditions aérauliques ne jouent pas de rôle en milieu surventilé,
- 7 flux incident joue un rôle significatif pour le contaminant volatil mais peu pour l'alumine,
- 7 coefficient de mise en suspension compris entre 1,1 et 16,6 % pour l'alumine et 0,4 et 55,8 % pour le CsI,
- → de plus amples travaux sont nécessaires sur :
 - ⇒ effet d'échelle sur la mise en suspension en situation d'incendie d'une boite à gants,
 - ⇒ effet de l'orientation du polymère,
 - ⇒ mise en suspension pour des solvants.

ELEMENTS ACQUIS SUR LE TERME SOURCE

- Aérosols émis lors d'un incendie sont majoritairement submicroniques, fractal et composés de particules primaires nanométriques (10 - 100 nm),
- → pour des combustibles complexes (armoire électrique) la morphologie est de type compacte et la composition élémentaires des particules est plus complexe.
- - ⇒ Production de suies en milieu sous-oxygéné : cône calorimètre à atmosphère contrôlé
 - ⇒ Interaction des particules carbonées avec une phase organique/imbrûlés

ELEMENTS ACQUIS SUR LE COLMATAGE DES FILTRES THE

7 Vitesse de filtration

⇒ > pouvoir colmatant des aérosols lorsque 7 vitesse.

→ Teneur en condensats

⇒ >> pouvoir colmatant des aérosols lorsque >> teneur en condensats des aérosols déposés sur le filtre.

Diamètre caractéristique des particules

- ⇒ lorsque les aérosols émis sont de nature fractale, leur pouvoir colmatant ≥ lorsque la taille des particules primaires constituant les agrégats ⊅.
- pour les particules non fractales produites, le diamètre à prendre en considération est le diamètre équivalent en volume des agrégats.

→ De plus amples travaux sont nécessaires sur :

- intégration de la fraction de condensats dans le modèle empirique,
- ⇒ développement de modèle de formation de gâteaux de particules de nature fractale,



MERCI POUR VOTRE ATTENTION.

DES QUESTIONS?

Réunion du GDR incendie du 15 janvier 2010